

## วิธี Adaptive Mesh Refinement สำหรับการไหลในชั้นชิดผิว

### Adaptive Mesh Refinement Method for Flow in Boundary Layer

สถาด สุลักษณ์<sup>1</sup>, อัครพล มีสิทธิ์<sup>2</sup>, วงศ์รัตน์ จันทสาโร<sup>2</sup>, เอกชัย จันทสาโร<sup>1</sup> และ จัชช์ อัศวนันท์<sup>3</sup>

<sup>1</sup> ห้องปฏิบัติการวิจัยพลศาสตร์ของไหลเชิงคำนวณ (CFD Lab)

สาขาวิชาวิศวกรรมเครื่องกล สำนักวิชาชีวกรรมศาสตร์ มหาวิทยาลัยเทคโนโลยีสุรนารี

อ.เมือง จ.นครราชสีมา 30000

โทร (044) 224410-1, โทรสาร (044) 224411, E-Mail: [ssaard@hotmail.com](mailto:ssaard@hotmail.com)

<sup>2</sup> ห้องปฏิบัติการกลศาสตร์เชิงคำนวณ (CML)

ภาควิชาวิศวกรรมเครื่องกล คณะวิศวกรรมศาสตร์ มหาวิทยาลัยเกษตรศาสตร์

บางเขน กรุงเทพฯ 10900

โทร (02) 9428555 ต่อ 1829, โทรสาร (02) 5794576, E-Mail: [ovrsk@ku.ac.th](mailto:ovrsk@ku.ac.th)

<sup>3</sup> ภาควิชาคณิตศาสตร์ คณะวิทยาศาสตร์ จุฬาลงกรณ์มหาวิทยาลัย

กรุงเทพฯ 10330

โทร (02) 2185141, โทรสาร (02) 2552287, E-Mail: [ajack@chula.ac.th](mailto:ajack@chula.ac.th)

#### บทคัดย่อ

บทความนี้นำเสนอหัวการและวิธีการ Adaptive Mesh Refinement (AMR) เพื่อแก้สมการชั้นชิดผิว(boundary layer) 1 มิติ ทั้งแบบเชิงเส้นและไม่เชิงเส้น วิธีการนี้ใช้แนวคิดในการปรับสร้างกริดให้เหมาะสมต่อการคำนวณให้มากที่สุด ได้โดยวิธีการ Richardson Extrapolation บริโภคที่ค่าคลาดเคลื่อนเฉือนนาดเกินกว่าที่กำหนด 1 มิติแบบต่างๆ พบร่วมกับ AMR เทคนิคmultigrid(multigrid) แบบวัฏจักร 1 และเทคนิคกริดเดียว(single-grid) สำหรับปัญหาการไหลในชั้นชิดผิว 1 มิติแบบต่างๆ พบร่วมกับ AMR ให้ค่าผลเฉลยที่มีความถูกต้องสูง ขยายผลเวลาการคำนวณและจำนวนจุดทั้งหมดที่ใช้ในการคำนวณลงได้กว่า 10000 เท่า และ 25 เท่า เมื่อเทียบกับเทคนิคกริดเดียว และลดได้กว่า 3 เท่า และ 75 เท่า เมื่อเทียบกับเทคนิคmultigrid

#### Abstract

The Adaptive Mesh Refinement (AMR) method for solving both linear and nonlinear one-dimensional boundary layer equations is presented. The method is employed to create the optimal grid refinement for numerical computation. The Richardson extrapolation method is used to estimate the solution errors. Regions of

high estimation error are specified and the new level of finer grid is created and overlaid that regions. The method is tested on one-dimensional boundary layer problems for assessment of the computing time and the computational grid points used in comparison with the single-grid and the V-cycle multigrid techniques. It is found that the AMR results are in good agreement with the very fine grid results. Furthermore, the AMR technique improves the computing time to approximately 10000 times faster and reduces the computational grid points to about 25 times comparing to the single-grid technique, and approximately 3 times and about 75 times comparing to the V-cycle multigrid technique.

#### 1. บทนำ

เป็นที่ทราบกันดีแล้วว่า ความถูกต้องของการคำนวณเชิงตัวเลขขึ้นอยู่กับสององค์หลัก คือ แผนวิธีประมาณค่า(numerical scheme) และจำนวนกริดที่ใช้ โดยทั่วไปแล้วแผนวิธีประมาณค่าที่ให้อันดับความถูกต้องสูง มาก็มีความยุ่งยากในการประยุกต์ใช้งานและมีข้อจำกัดอื่นๆ พ่างติดมากด้วย เช่น เมื่อประยุกต์แผนวิธีประมาณค่าแบบผลต่างกล่าง เข้าแก้ปัญหาการไหลที่มีค่าเลขเรียโนล์ดสูงๆ และ การคำนวณมักจะขาดเสียริบภาพ อันเนื่องมาจากแผนวิธีดังกล่าวไม่สามารถกำกับทิศทางการไหลได้เป็นต้น ด้วยเหตุนี้ การเพิ่มความถูกต้องของผลเฉลยให้สูงขึ้น

โดยการใช้กริดจำนวนมากขึ้น จึงเป็นทางเลือกที่ง่ายและมีเสถียรภาพกว่าการใช้แผนวิธีประมาณค่าที่ให้อันดับความถูกต้องสูง

การคำนวณเชิงตัวเลขแบบวนซ้ำ โดยทั่วไปมักใช้กริดเดียว กล่าวคือ การคำนวณดังแต่ร่องแรกจนถึงรอบสุดท้ายเกิดขึ้นบนกริดชุดเดียว เทคนิกนี้มีข้อด้อยคือ เมื่อต้องการผลเฉลยที่ถูกต้องสูงขึ้น จำเป็นต้องใช้กริดจำนวนมากขึ้น ส่งผลให้เวลาที่ใช้ในการคำนวณมากขึ้น เช่นกัน แนวทางที่สามารถเร่งให้การคำนวณเร็วขึ้นได้มากวิธีหนึ่ง คือ เทคนิคแมลติกริด [1,2] ซึ่งใช้กริดหลาย ขนาดร่วมกันในการคำนวณ เพื่อใช้กำจัดค่าคลาดเคลื่อนความถูกต้องที่ต่างกันของความล้าช้า แต่เทคโนโลยีนี้ข้อด้อยคือ การสร้างกริดทุกชุด ใช้การแบ่งละเอียดลดลงทั้งโดยเม้น (global refinement) ซึ่งความเป็นจริงแล้วอาจไม่จำเป็นต้องทำ เช่นนั้น ในบริเวณที่การเปลี่ยนแปลงของผลเฉลยมีความรบเรียงสูง ผลเฉลยบนกริดใหญ่ก็มีความถูกต้องเพียงพอในระดับที่ยอมรับได้ โดยไม่จำเป็นต้องใช้กริดละเอียดแต่อย่างใด ด้วยเหตุนี้การแบ่งละเอียดเฉพาะที่ (local refinement) ซึ่งเป็นเทคโนโลยี AMR จึงถูกพัฒนาขึ้นมาใช้ เทคนิกนี้กริดระดับใหม่ที่ละเอียดขึ้น จะถูกสร้างขึ้นในบริเวณที่ความถูกต้องของผลเฉลยบ้างไม่เพียงพอ การคำนวณบนกริดระดับใหม่จะเกิดขึ้นบนส่วนนั้นๆ เท่านั้น เทคนิก AMR นี้ Berger [3] ได้นำไปประยุกต์เข้ากับระบบเย็บวิธีผลต่างสี่เหลี่ยม เพื่อแก้ปัญหาแบบไข่ป้อมโน้มถ่วง 1 มิติและ 2 มิติ โดยทำการแบ่งละเอียดทั้งขนาดกริดและชั้นเวลา โดยเน้นย่อที่เกิดขึ้นสามารถหามุ่งไปในทิศทางต่างๆ ได้ ตามลักษณะและรูปร่างของบริเวณที่แบ่งละเอียด หลักการของ Berger ถูกนำไปประยุกต์ใช้ต่อโดย Caruso [4] เพื่อแก้สมการนาวีร์-สโตรกส์ 2 มิติ นอกจากนี้ยังพัฒนารนำไปประยุกต์ใช้กับปัญหาอื่นๆ ได้อย่างได้ผล [5]

บทความนี้นำเสนอหลักการพื้นฐานของวิธี AMR และผลที่ได้จากการนำไปประยุกต์แก้สมการชั้นชิดผิว 1 มิติ ทั้งแบบเชิงเส้นและไม่เชิงเส้น โดยเทคนิก AMR ที่ใช้เรียกวิธี passive ซึ่งหมายความว่ามีความเป็นเชิงเส้น และใช้การคำนวณช้าแบบวิธีเกลล์-ไซเดล (Gauss-Seidel method) วิธี Richardson Extrapolation ถูกใช้เพื่อคำนวณหาค่าคลาดเคลื่อนโดยประมาณที่จุดต่างๆ [3,4] ประสิทธิภาพของเทคนิก AMR ได้รับการทดสอบกับปัญหาการไหลในชั้นชิดผิว 1 มิติ เพื่อประเมินที่ยอมกับเทคนิกกริดเดียวและเทคนิคแมลติกริดแบบวัฏจักรวี ในเชิงความรวดเร็วและจำนวนจุดทั้งหมดที่ใช้ในการคำนวณ

## 2. หลักการของเทคนิก AMR

เมื่อทำการประมาณค่าพจน์อนุพันธ์ด้วยอนุกรมเทเลอร์ ความถูกต้องของแผนวิธีประมาณค่าขึ้นอยู่กับอันดับของพจน์อนุกรมที่ถูกตัดทิ้ง หากกำหนดให้  $n(0, x)$  เป็นผลเฉลยแม่น ตรง และ  $n(h, x)$  เป็นผลเฉลยที่ได้จากการประมาณด้วยอันดับความถูกต้อง  $p$  บนกริดที่มีระยะกริด  $h$  ค่าคลาดเคลื่อนจาก การประมาณ  $e(h, x)$  สามารถหาได้จาก

$$\begin{aligned} e(h, x) &= u(0, x) - u(h, x) \\ &= h^p F(x) + h^q G(x) + \dots \end{aligned} \quad (1)$$

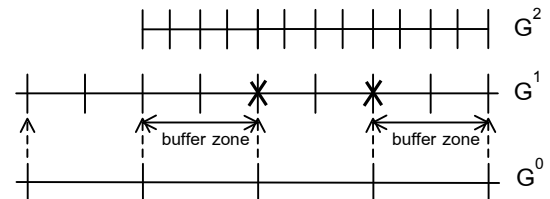
ท่านองเดียวกัน ค่าคลาดเคลื่อนของผลเฉลยจากการประมาณด้วยอันดับความถูกต้อง  $p$  บนกริดขนาด  $2h$  ก็จะมีรูปความสัมพันธ์เป็นดังนี้

$$\begin{aligned} e(2h, x) &= u(0, x) - u(2h, x) \\ &= 2^p h^p F(x) + 2^q h^q G(x) + \dots \end{aligned} \quad (2)$$

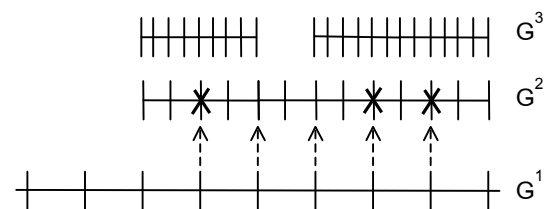
นำสมการที่ (1) ลบด้วยสมการที่ (2) แล้วหารด้วย  $2^p - 1$  ก็จะได้ค่าคลาดเคลื่อนโดยประมาณ  $\tilde{e}$  บนกริดขนาด  $h$  เป็นดังนี้

$$\begin{aligned} \tilde{e}(h, x) &= \frac{u(2h, x) - u(h, x)}{2^p - 1} \\ &= h^p F(x) + h^q \left( \frac{2^q - 1}{2^p - 1} \right) G(x) + \dots \end{aligned} \quad (3)$$

สมการที่ (3) แสดงให้เห็นว่า ค่าคลาดเคลื่อนโดยประมาณ  $\tilde{e}(h, x)$  ของผลเฉลยบนกริดชุดปัจจุบัน สามารถหาได้จากผลเฉลยโดยประมาณบนกริดชุดนั้น และผลเฉลยโดยประมาณบนกริดที่ใหญ่กว่า ซึ่งก็คือหลักการวิธี Richardson Extrapolation



(g) การแบ่งละเอียด 2 ระดับกริด



(h) การแบ่งละเอียด 3 ระดับกริด

รูปที่ 1 ตัวอย่างการแบ่งละเอียดบนกริด 1 มิติ

ตัวอย่างการแบ่งละเอียดบนกริด 1 มิติแสดงในรูปที่ 1 หากกำหนดให้  $G^{k-1}$ ,  $G^k$  และ  $G^{k+1}$  เป็นกริดใหญ่และกริดละเอียดระดับกัดจีนไปตามลำดับ การแบ่งละเอียดเพื่อสร้างกริดระดับใหม่นั้น เริ่มจากการคำนวณหาค่าคลาดเคลื่อนโดยประมาณที่จุดต่างๆ บนกริด  $G^k$  โดยใช้สมการที่ (3) (สำหรับการคำนวณหาค่า

คลาดเคลื่อนบนกริดฐาน G<sup>1</sup> ต้องจำลองกริดที่ขยายกว่ากริดฐาน และคำนวณหาผลเฉลยบนกริดนั้นก่อน) จุดที่มีค่าคลาดเคลื่อน เกินขนาดที่กำหนดจะถูกระบุตัวแทนไว้ (แสดงด้วยเครื่องหมาย กากบาท) และได้รับการจัดกลุ่ม โดยจุดที่อยู่ประชิดกันจะถูกวัดไว้ในกลุ่มเดียวกัน กลุ่มจุดเหล่านี้จะได้รับการกำหนดขอบเขต โดยการสร้างเขตกันชน(buffer zone) ขยายอกร้าวไปด้านซ้ายและด้านขวาตามค่าที่กำหนด (ตัวอย่างกริดใหญ่ปีกที่ 1 กำหนดค่าเท่ากับหนึ่งของกริดใหญ่) กล้ายเป็นบริเวณสำหรับการแบ่งและเอียง ตำแหน่งของจุดในบริเวณดังกล่าวจะถูกใช้อ้างอิงเพื่อการแบ่งและเอียงตามค่าสัดส่วนกริด(grid ratio) ที่กำหนด กริดจะเอียงที่ถูกสร้างขึ้นใหม่จะทับซ้อน(overlaid) อยู่เหนือกริดใหญ่ หากบริเวณสำหรับการแบ่งและเอียงมีมากกว่าหนึ่งแห่ง และอยู่ในระยะที่ไม่ประชิดกัน ก็จะทำให้ได้หดหายโดยเมื่อยอย (sub-domain) บนกริดระดับใหม่ การคำนวณและการสร้างกริดระดับถัดไปจะวนซ้ำนี้ไปเรื่อยๆ อย่างอัตโนมัติ จนกว่าผลการคำนวณจะสอดคล้องกับเงื่อนไขที่กำหนดไว้

จะเห็นได้ว่า การแบ่งและเอียงเพื่อสร้างกริดระดับใหม่นั้น เขตกันชนมีความสำคัญมากกับการกำหนดค่าต่างๆ ที่ขึ้นอยู่กับขนาดของเขตกันชนจะใช้เป็นค่าของเขตกริดจะเอียงค่าผลเฉลยที่ตำแหน่งเขตกันชนจะถูกใช้เป็นค่าของบนกริดจะเอียง ส่วนผลเฉลยค่าเริ่มต้นบนกริดจะเอียง “ได้จากการสังเคราะห์จากกริดใหญ่ แต่อย่างไรก็ตาม ขนาดของเขตกันชนนี้น้อยกว่าความซับซ้อนของปัญหาที่ต้องการแก้ ไม่สามารถระบุค่าที่เหมาะสมที่แน่นอนได้ โดยทั่วไปสำหรับปัญหาที่ซับซ้อนมาก กำหนดให้มีขนาดมากกว่าหนึ่งห้องกริดใหญ่

### 3. สมการชั้นชิดผิวและเทคนิคที่ใช้ในการหาผลเฉลย

เนื่องจากสมการพื้นฐานสำหรับปัญหาการไหลทั่วไป เป็นสมการเชิงอนุพันธ์ย่อยไม่เชิงเส้น การหาผลเฉลยแม่นตรงจึงเป็นเรื่องที่ทำได้ยากมาก หรือแทนจะเป็นไปไม่ได้เลย กว่า 60 ปี ที่ผ่านมาจึงมีการพัฒนาการประมาณเชิงวิเคราะห์ และการประมาณเชิงตัวเลขขึ้นอย่างต่อเนื่อง วิธีการประมาณเชิงวิเคราะห์ และการประมาณเชิงตัวเลขขึ้นอย่างต่อเนื่อง วิธีการประมาณเชิงวิเคราะห์ที่ประสมผลสำเร็จจนถึงปัจจุบันวิธีหนึ่ง คือการหาผลเฉลยแบบ asymptotic ที่เรียกว่าวิธีการเพอร์เตอร์เบชัน(perturbation methods) โดยทฤษฎีการไหลในชั้นชิดผิวของแพรนเดล(Prandtl) เป็นต้นแบบที่สำคัญของการพัฒนาวิธีการเพอร์เตอร์เบชันแบบເອກພັນ ซึ่งใช้ในการประมาณเชิงวิเคราะห์ ปัญหาการไหลในชั้นชิดผิวทั่วไป แบบจำลองทางคณิตศาสตร์อย่างง่ายที่ใช้ศึกษาพฤติกรรมของการไหลในชั้นชิดผิวคือ

$$\partial y''(x) + y'(x) = f, \quad y(0) = 0, \quad y(1) = 1 \quad (4)$$

สำหรับ  $0 < \varepsilon \ll 1$  และ  $f \geq 0$  โดยที่  $\varepsilon$  คือส่วนประกอบของเลขเรียนอลด์ ชั้นชิดผิวสำหรับปัญหานี้เกิดขึ้นในบริเวณ  $x = 0$  ซึ่งมีการเปลี่ยนแปลงค่าของผลเฉลยสูงมาก และเป็นบริเวณที่ผลเฉลยประมาณเชิงตัวเลขมีความถูกต้องต่ำ เนื่องจากเกรเดียนต์

ของผลเฉลยมีค่าเกือบเป็นอนันต์เมื่อ  $x = 0$  ปัญหาในลักษณะนี้จึงเหมาะสมที่จะใช้கดสอบวิธีการ AMR

พิจารณาสมการชั้นชิดผิว 1 มิติ ซึ่งมีรูปทั่วไปเป็นดังนี้

$$\partial y'' + a(x)y' + b(x)y = f(x); \quad x_1 < x < x_2 \quad (5)$$

โดยมีเงื่อนไขค่าของเป็น  $y(x_1) = y_1, \quad y(x_2) = y_2$  สำหรับในกรณีที่พารามิเตอร์  $0 < \varepsilon \ll 1$  และ  $a(x), \quad b(x)$  เป็นฟังก์ชันต่อเนื่องได้ พจนอนุพันธ์อันดับหนึ่งจะถูกประมาณโดยวิธีผลต่างตันกระแส(upwind scheme) ส่วนพจนอนุพันธ์อันดับสองจะใช้วิธีผลต่างกลาง ซึ่งมีสูตรเป็นดังนี้

วิธีผลต่างตันกระแส

$$y'_i = \frac{y_{i+1} - y_i}{h} \quad \text{เมื่อ } a(x_i) \geq 0 \quad (6-1)$$

$$y'_i = \frac{y_i - y_{i-1}}{h} \quad \text{เมื่อ } a(x_i) < 0 \quad (6-2)$$

วิธีผลต่างกลาง

$$y''_i = \frac{y_{i+1} - 2y_i + y_{i-1}}{h^2} \quad (7)$$

กำหนดปัญหาทดสอบ A, B และ C เป็นปัญหาเชิงเส้น [4] ส่วนปัญหา D เป็นปัญหาไม่เชิงเส้น (ซึ่งสัมประสิทธิ์  $a(x)$  ถูกแทนด้วย  $y(x)$ ) หากมีกำหนดเงื่อนไขและค่าคงตัวเป็นอย่างอื่น การคำนวณจะถือใช้ค่าดังต่อไปนี้  $\varepsilon = 0.01$  ขนาดเขตกันชนเท่ากับ 1 ช่องกริดใหญ่ ค่าสัดส่วนกริด  $r = 2$  (ขนาดกริดจะเอียงเป็นครึ่งหนึ่งของขนาดกริดใหญ่) ระดับค่าคลาดเคลื่อนโดยประมาณของผลเฉลย  $\delta = 10^{-3}$  และระดับความถูกต้องของ การคำนวณด้วยเกลส์-ไซเดล  $\delta_R = 0.01\delta$  รูปสมการชั้นชิดผิวและเงื่อนไขค่าของแต่ละปัญหาทดสอบ เป็นตามลำดับดังต่อไปนี้

A : Simple Boundary Layer

$$\partial y'' - y' = 0 \quad (8-1)$$

เงื่อนไขค่าของ  $y(-1) = 1, \quad y(1) = 2$

B : Internal Boundary Layer

$$\partial y'' + xy' = -1 \quad (8-2)$$

เงื่อนไขค่าของ  $y(0) = 0, \quad y(1) = 0$

C : Boundary Layer with Tuning Point

$$\varepsilon y'' + |x| y' + \left( x - \frac{1}{2} \right)^3 y = 0 \quad (8-3)$$

เงื่อนไขค่าของ  $y(-1) = 1, \quad y(1) = 2$  และ  $\delta = 10^{-2}$

D : Boundary Layer with Non-constant Inner Solution

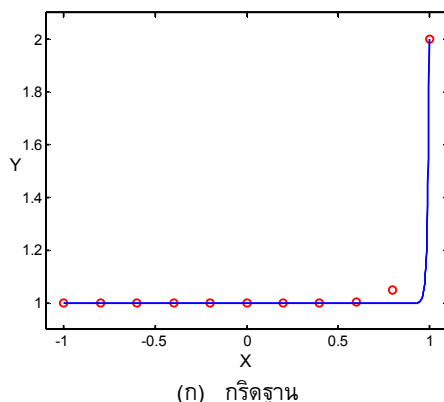
$$\varepsilon y'' + yy' + 0.5 |y| = 0 \quad (84)$$

เงื่อนไขค่าของ  $y(-1) = 1, \quad y(1) = 1$  และ  $\varepsilon = 0.0001$

ขั้นตอนการคำนวณแบบ passive เริ่มจากการหาผลเฉลยบันกริดฐาน จากนั้นคำนวณหาค่าคลาดเคลื่อนโดยประมาณโดยใช้สมการที่ (3) (โดยกำหนดค่า  $p=1$  เนื่องจากใช้แผนกวีรีประมาณค่าแบบผลต่างต้นกระแสร่วมด้วย) จุดที่มีค่าคลาดเคลื่อนเกินกว่าขนาดที่กำหนดจะถูกระบุตำแหน่งไว้ เมื่อสามารถระบุตำแหน่งได้แล้ว จึงใช้หลักการตามที่นำเสนอไว้ในรูปที่ 1 เพื่อทำการแบ่งละเอียดสร้างเป็นกริดระดับต่อไป บันกริดละเอียดชุดใหม่นี้ ผลเฉลยค่าเริ่มต้นรวมถึงค่าของได้จากการสังเกตมาจากกริดใหญ่ ซึ่งจะพบว่า ค่าของของกริดละเอียดก็คือค่าที่ต่ำแห่งนั้นของกันชนของกริดใหญ่นั้นเอง การคำนวณและแบ่งละเอียดจะดำเนินไปเช่นนี้เรื่อยๆ จนกว่าค่าคลาดเคลื่อนของผลเฉลยของทุกจุดมีค่าน้อยกว่าที่กำหนดไว้ ซึ่งในที่นี้ได้กำหนดให้กริดละเอียดต้องมีขนาดกริดไม่น้อยกว่า  $0.01\delta$

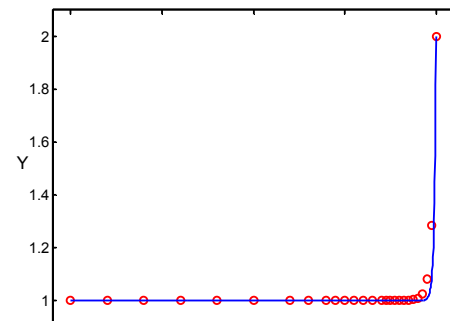
#### 4. ผลการทดสอบ

รูปที่ 2 แสดงผลจากการใช้เทคนิค AMR สำหรับปัญหาทดสอบ A โดยจุดวงกลมเป็นผลเฉลยที่ได้จากการใช้วิธี AMR ส่วนเส้นกราฟที่บีบเป็นผลเฉลยบันกริดที่ละเอียดมาก(ประมาณได้กับผลเฉลยแม่นตรง) จากรูปที่ 2 จะเห็นได้ว่าการเปลี่ยนแปลงของผลเฉลยที่มีความถูกต้องมากขึ้นเมื่อระดับกริดเพิ่มขึ้น หากสังเกตบริเวณมุมหักของกราฟ จะพบว่ากริดมีความหนาแน่นเพิ่มมากขึ้นเรื่อยๆ ทั้งนี้เนื่องจากเป็นบริเวณที่มีการเปลี่ยนแปลงสูง กริดจึงได้รับการแบ่งละเอียดเพิ่มขึ้น สองผลให้ผลเฉลยมีความถูกต้องสูงขึ้นโดยลำดับ ในขั้นตอนการแบ่งละเอียดเพื่อสร้างกริดละเอียดระดับใหม่นั้น ขอบเขตที่ใช้ในการคำนวณจะมีต่ำแห่งที่เปลี่ยนไปด้วย ดังในตารางที่ 1 แสดงข้อมูลกริดของปัญหา A ที่แบ่งละเอียด 1 ถึง 12 ระดับ จะเห็นที่ได้ว่า ขอบเขตซ้ายมีต่ำแห่งที่เปลี่ยนไปเมื่อระดับกริดเพิ่มขึ้น โดยเลื่อนเข้าหากันบนเขตขวาซึ่งคงที่อยู่ที่ต่ำแห่ง  $x=1$

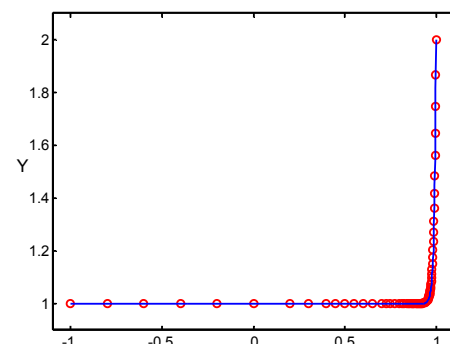


(g) กริดฐาน

รูปที่ 2 ผลเฉลยของปัญหา A บันกริดจำนวนระดับต่างๆ

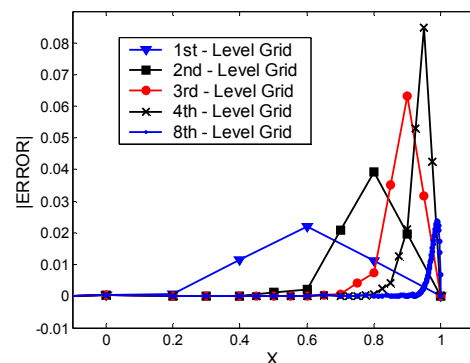


(h) กริด 4 ระดับ



(i) กริด 8 ระดับ

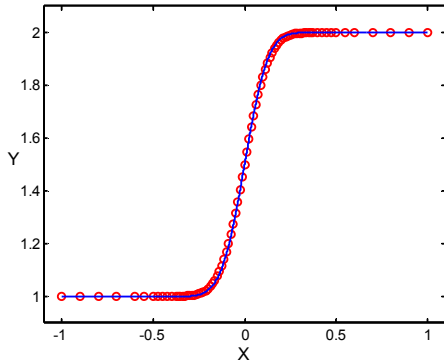
รูปที่ 2 ผลเฉลยของปัญหา A บันกริดจำนวนระดับต่างๆ (ต่อ)



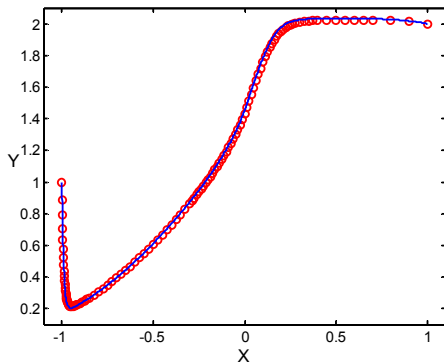
รูปที่ 3 ค่าคลาดเคลื่อนโดยประมาณบันกริดจำนวนระดับต่างๆ ของปัญหา A

รูปที่ 3 แสดงค่าคลาดเคลื่อนโดยประมาณบันกริดระดับต่างๆ ของปัญหา A จากรูปจะเห็นได้ว่า ฐานของส่วนที่คลาดเคลื่อนสูงจะแคบลงเรื่อยๆ ซึ่งแสดงว่าขอบเขตของการคำนวณมีช่วงที่แคบลงเรื่อยๆ เช่นกัน หากสังเกตขนาดของค่าคลาดเคลื่อนโดยประมาณที่เกิดขึ้น จะพบว่ามีขนาดใหญ่ขึ้นในต้นๆ ระดับกริด (จากรูปคือบันกริด 1 ระดับถึง 4 ระดับ) ที่เป็นเช่นนี้ เพราะช่วงดังกล่าวการเปลี่ยนแปลงค่าของผลเฉลยสูงมาก กริดใหญ่นั้นๆ ระดับจึงบีบไม่ละเอียดพอที่จะจับการเปลี่ยนแปลงที่

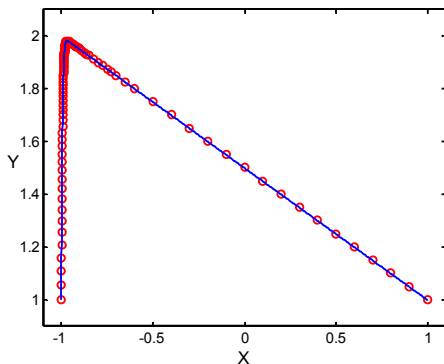
ตำแหน่งในช่วงดังกล่าวได้ แต่มีกริดมีความละเอียดเพียงพอ และสามารถจับการเปลี่ยนแปลงได้แล้ว ค่าคลาดเคลื่อนดังกล่าว ก็จะมีขนาดเล็กลง ดังเช่นเส้นกราฟที่กริด 8 ระดับ



รูปที่ 4 ผลเฉลยของปัญหา B บนกริด 5 ระดับ



รูปที่ 5 ผลเฉลยของปัญหา C บนกริด 7 ระดับ



รูปที่ 6 ผลเฉลยของปัญหา D บนกริด 9 ระดับ

รูปที่ 4 ถึงรูปที่ 6 แสดงผลที่ได้จากการแก้สมการของปัญหา B, C และ D ตามลำดับ ซึ่งจะเห็นว่าแต่ละปัญหามีจำนวนบริเวณและตำแหน่งของการแบ่งลงทะเบียดที่ต่างกัน ขึ้นอยู่ กับว่าบริเวณที่มีการเปลี่ยนแปลงสูงนั้น ปรากฏอยู่ที่ส่วนใดบัน โดเมนที่ต้องการแก้ การแบ่งลงทะเบียดและการคำนวนนี้จะเกิดขึ้น

เฉพาะบริเวณดังกล่าว ส่งผลให้การคำนวนมีความรวดเร็วขึ้น ข้อมูลในตารางที่ 2 แสดงผลเปรียบเทียบจำนวนจุดและเวลาที่ใช้ ในการคำนวนด้วยเทคนิคต่างๆ ซึ่งจะเห็นได้ว่าวิธี AMR ใช้จุดในการคำนวนน้อยกว่าวิธีอีกสองเทคนิคมาก

ตารางที่ 1 ข้อมูลกริดระดับต่างๆ ของปัญหา A

LEVEL	LBC	RBC	MESH	DELX
1	-1.000	1.000	11	0.2000
2	0.200	1.000	9	0.1000
3	0.400	1.000	13	0.0500
4	0.700	1.000	13	0.0250
5	0.800	1.000	17	0.0125
6	0.850	1.000	25	0.0063
7	0.894	1.000	35	0.0031
8	0.919	1.000	53	0.0016
9	0.936	1.000	83	0.0008
10	0.950	1.000	129	0.0004
11	0.962	1.000	195	0.0002
12	0.973	1.000	257	0.0001

หมายเหตุ: LEVEL คือระดับกริด LBC และ RBC คือตำแหน่ง ของเขตซ้ายและขอบเขตขวา ตามลำดับ MESH คือจำนวนจุดที่ ใช้ในการคำนวน และ DELX คือขนาดของกริด

ตารางที่ 2 เปรียบเทียบจำนวนจุดและเวลาที่ใช้ในการคำนวน ด้วยเทคนิคต่างๆ

ปัญหาทดสอบ	AMR	MG	SG
A	840	20487	10241
(1,12 )	2	3	17044
B	599	1277	641
(21,7)	< 1	1	2
C	1596	20481	10241
(21,11)	3	4	17890
D	802	61442	20481
(21,12)	2	6	> 36000

หมายเหตุ: MG และ SG คือเทคนิคแมลติกริดและเทคนิคกริดเดียว ตามลำดับ โดยความหมายของข้อมูลในแต่ละช่องคือ ตัวเลขແລ Wen คือจำนวนจุดทั้งหมดที่ใช้บนทุกระดับกริด ตัวเลขແລ Wen คือเวลา(หน่วยวินาที) ที่ใช้ในการคำนวน (บนเครื่องคอมพิวเตอร์ Pentium III 1.1 GHz CPU) ตัวเลขในวงเล็บคือ จำนวนจุดของกริดฐานและจำนวนระดับกริดที่ใช้ (สำหรับเทคนิค AMR และ MG) ตามลำดับ

## 5. สรุปและวิจารณ์ผล

ผลจากการประยุกต์วิธี AMR แบบ Passive แก้สมการชั้นชิดผิว 1 มิติ ทั้งแบบเชิงเส้นและไม่เชิงเส้น พบร่วมกับเทคนิค AMR ช่วยให้การสร้างกริดเหมาะสมกับการคำนวนเป็นอย่างดี

วิธี Richardson Extrapolation ช่วยให้สามารถระบุตำแหน่งที่ผลเฉลยมีความถูกต้องไม่เพียงพอ เพื่อนำเข้าสู่การแบ่งละเอียดสร้างเป็นกริดระดับถัดไป จากผลการทดสอบกับปัญหาทดสอบพบว่า คำตอบที่ได้จากการใช้เทคนิค AMR ลดคล่องกันผลเฉลยบนกริดที่ละเอียดมากๆ เป็นอย่างดี หากพิจารณาความรวดเร็วในการคำนวณและปริมาณข้อมูลที่ต้องจัดเก็บ พบว่า เทคนิค AMR ให้ค่าผลเฉลยที่มีความถูกต้องสูง ช่วยลดเวลาการคำนวณ และจำนวนจุดทั้งหมดที่ใช้ในการคำนวณลงได้กว่า 10000 เท่า และ 25 เท่า เมื่อเทียบกับเทคนิคกริดเดียว และลดได้กว่า 3 เท่า และ 75 เท่า เมื่อเทียบกับเทคนิคแมลติกริด

ที่เป็นเช่นนี้เนื่องจากว่า เทคนิค AMR เป็นการแบ่งละเอียดเฉพาะที่ในบริเวณที่ผลเฉลยมีความถูกต้องไม่เพียงพอเท่านั้น ขอบเขตของการคำนวณบนกริดจะละเอียดจึงมีขนาดเล็กลง จำนวนจุดที่ใช้จึงน้อยลง เวลาที่ใช้ในการคำนวณจึงลดลงด้วย และผลเฉลยมีความถูกต้องสูงขึ้น

จากที่ได้นำเสนอมาทั้งหมดข้างต้น จะเห็นได้ว่าเทคนิค AMR มีความได้เปรียบเชิงประสิทธิภาพ เมื่อเทียบกับเทคนิคแมลติกริดและเทคนิคกริดเดียวอย่างตัวเจน งานวิจัยที่จะดำเนินการต่อไปในอนาคตคือ การประยุกต์เทคนิค AMR ในการหาผลเฉลยของสมการนาโนเวียร์-สโตกส์ สำหรับปัญหาการไหลใน 2 มิติ และ 3 มิติ

#### กิตติกรรมประกาศ

ขอขอบคุณศูนย์เทคโนโลยีอิเล็กทรอนิกส์และคอมพิวเตอร์แห่งชาติ (NECTEC) ที่ให้ทุนสนับสนุนในโครงการนี้

#### เอกสารอ้างอิง

- [1] A. Brandt, "Multi-Level Adaptive Solutions to Boundary-Values Problems", Mathematics of Computation, 1977, Vol.138, pp.333-390.
- [2] S. Sulak, V. Juntasaro, P. Uthayopas, E. Juntasaro, "Fast Solver for Three-Dimensional Turbulent Flow using Multigrid Method", The ANSCSE 7<sup>th</sup>, 2003, p.42
- [3] M. Berger, " Adaptive Mesh Refinement for Hyperbolic Partial Differential Equations", Ph.D. Thesis, Stanford, 1982.
- [4] S. Caruso, "Adaptive Grid Techniques for Elliptic Fluid-Flow Problems", Ph.D. Thesis, Stanford, 1986.
- [5] C. Liu, Z. Liu, S. McCormick, " Multilevel Adaptive Methods for Incompressible Flow in Grooved Channel", Computational and Applied Mathematics, 1991, Vol.38, pp.283-259.